

九州大学工学部 学生員〇仲敷 麗和
 " 正員 小松 利光
 " " 松永 信博
 " 学生員 細山田 得三

1 緒言

密度二成層流体での界面における連行量を解明する一つの基礎的アプローチとして、振動格子によつて生じる乱れと連行量との関係が数多く研究されてゐる。特に浦瀬¹⁾は、均一流体中での流速変動を測定し、その結果を二成層場に導入することでより連行量を定量化してゐる。しかしながら、密度躍層の存在によつて均一流体場の乱れ特性が変形を受けることが予想されるところから、本研究では密度界面の位置を定常に保つことにより、二成層流体場における流速変動、及び濃度変動を測定し、密度躍層が乱れに及ぼす効果について調べた。

2 実験装置および実験方法

実験水槽は、長さ100cm、深さ40cm、幅25cmで全面透明なアクリル板で作られた。底から82cmの位置に水平に格子を設置し、それを上下に振動させることにより乱れを発生させた。格子は角柱正方格子で、格子の幅は1cm、格子のメッシュ(M)は5.0cmである。格子により生じた流速変動は、2方向V型ホットフィルム流速計を台車にとりつけ、一定速度($U_c = 8.34 \text{ cm/s}$)で走行させることにより測定された。装置に関する詳細は、文献²⁾を参照されたい。便宜上、台車走行方向にx軸を、格子振動中心より鉛直上向きにy軸をとる。作業流体として、上層流体に淡水、下層流体に塩水を用い淡塩水の二成層場を形成し下層流体を振動させた。実験条件としては、格子の振幅($S_0 = 4.0\text{cm}$)を固定し、振動数(f_0)、上下層の密度(ρ_1, ρ_2)、及び格子振動中心より界面までの距離(D_0)を変化させた。この場合、上下層にそれぞれ初期密度の淡塩水を供給し、実質加えて流量を下層から排水する工夫を施し、界面を通じて下層流体が上層流体を連行するためにはじる躍層の上昇を抑える。界面の位置を一定に保つた。濃度計は2方向ホットフィルム流速計にとりつけられることにより、下層流体と躍層内の流速変動と濃度変動を測定した。測定は各断面において5回ずつ行ない、変動の統計量を5回の平均を表わした。次に、濃度計と内部波高計を台車にとりつけ、台車を一定速度(8.34 cm/s)で走行させることにより、下層流体及び躍層内の濃度変動と界面変動の同時測定を行なった。統計量は同様に各断面5回の平均を用いた。これらに内部波高計³⁾を固定し、界面変動の時系列を測定した。主な実験条件は、表-1に示す。

3 実験結果ならびに考察

図-1は、二成層流体中における乱れ強度 u' 、 w' の鉛直分布を示したものである。図中の斜線は躍層の範囲を、実線は、均一流体中における乱れ強度の分布を示している。なお、今回スコットクラニクシステムに改良を加えており、再測定を行なう。均一流体中の乱れ強度分布として $u', w' / f_0 S_0 = 0.136 (z/M)^{-1}$ を得た。密度界面より十分離れた所での乱れ強度分布は、均一流体中の減衰則に従うが、躍層内では急激に減衰している。これは、渦の持続運動量が浮力効果によって抑えられるためである。躍層内では均一流体と同様、 u' と w' との間に躍層の差異は見られない。図-2は、横分長さ l_x と l_z の鉛直分布を

表-1 実験条件

Run	作業流体	$S_0(\text{cm})$	$f_0(\text{cm})$	$D_0(\text{cm})$	$\frac{\rho_2 - \rho_1}{\rho_1}$	$R_i(\text{overall})$
1	密度二成層場	4.0	2.0	7.3	0.0419	11.308
2		4.0	2.0	10.6	0.0415	13.428
3		4.0	2.0	13.3	0.0285	10.270
4		4.0	4.0	10.75	0.0236	0.9712
5		4.0	4.0	14.31	0.0270	1.479
6		4.0	4.0	13.80	0.0136	0.7185
7		4.0	4.0	18.38	0.0150	1.054
8		4.0	4.0	12.95	0.0192	0.9518

$$R_i(\text{overall}) \equiv \frac{Eg(D_0 + D_2)}{(f_0 S_0)^2}$$

D_2 : 水槽底面から格子振動中心までの距離

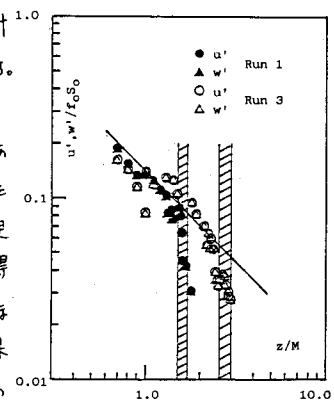


図-1 乱れ強度の分布

示したものである。 l_x と l_z は、それぞれ x 方向と z 方向の変動速度の自己相関関数から積分時間スケールを求め、それと台車速度 U_c を掛けたものである。界面より十分に離れた所では、 l_x と l_z はともに z に比例して増加するという均一流体場との特性とはほぼ同じ傾向が見られるが、界面に近づくにつれて l_x は急激に増大し、 l_z は減少する。これは密度躍層以下の種の壁面的な役割を果たし、渦が偏平化するためであると考えられる。図-3 は、 x 方向と z 方向の変動流速の自己相関関数から卓越周期を読みとり、それと台車速度を掛けた二つに分けて求めた大規模スケール L_x と L_z の鉛直分布を示したものである。格子近傍では、 L_x と L_z はメッシュのスケールを持ち、かなりのばらつきがあるが、 z とともに増大する傾向がある。しかしながら、積分スケールと同様、界面に近づくにつれて L_x は急激に大きくなり L_z は減少する。このように、大規模スケールの渦から積分スケール程度の渦まで密度躍層の存在の影響を受け変形することができる。また躍層内では、図-1 に示すように、変動速度が急激に減衰する ($z=10$ 附近) ため、スケールの評価として濃度変動のスケールを用いる。図-4 は、濃度変動の積分スケール l_d の躍層内での鉛直分布を示す。ここで、 δ は躍層の厚さであり、 R_i は濃度変動の自己相関関数より積分時間スケールを求める、それ。

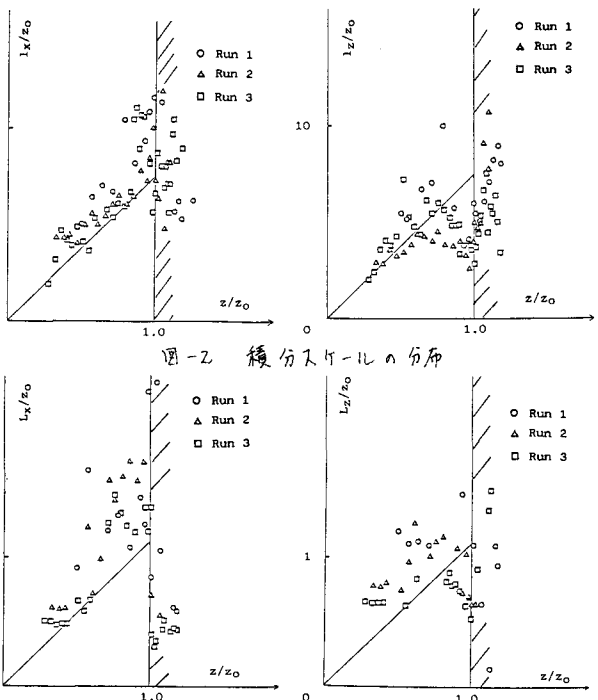


図-2 積分スケールの分布

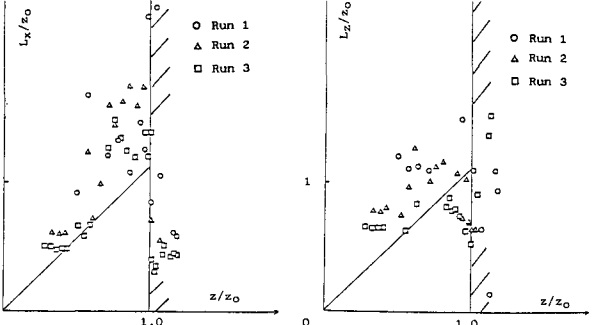


図-3 大規模スケールの分布

図-4 は、躍層内のスケール l_d の鉛直分布を示す。ここで、 δ は躍層の厚さであり、 R_i は濃度変動の自己相関関数より積分時間スケールを求める、それ。

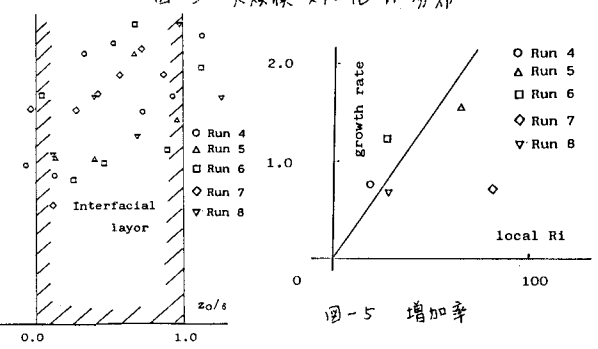


図-4 跳層内のスケール

下面では変動流速の積分スケール l_x と l_z が一致しない。 $z=2$ 付近で、躍層内における濃度積分スケールの増加率の局部 Richardson 数に対する依存性を示したもののが図-5 である。 l_d の増加率は、局部 Ri 数に比例して増大していふことがわかる。これは、界面での密度効果が卓越するにつれて、躍層内での乱れの変形が大きくなることを示している。最後に、図-6 は固定点における濃度変動の時系列データより求めた周期の鉛直分布の一例を示す。濃度変動の周期は、躍層上面では界面変動の周期と一致しており、躍層下部へ行くにつれて周期は増大していく。従って、濃度変動は躍層上部では界面変動の影響を強く受け、界面変動と同程度の頻度で起るが、躍層下部へ行くにつれて頻度が低下する。

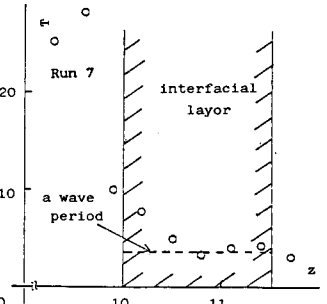


図-5 増加率

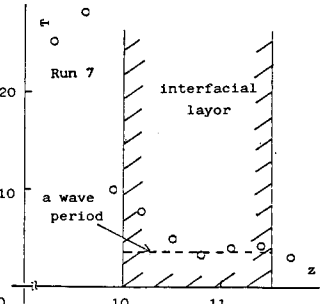


図-6 濃度変動の周期

(参考文献)

浦賀・小松 利光・松永 信博：振動格子の乱れによる密度界面の運動特性と連行現象、工木学会論文集Ⅱ第 345 号、pp. 91 ~ 99